

## Introdução ao controle LQ aplicado a sistemas MIMO

### \* Análise de zeros em sistemas MIMO

Considerando um exemplo com um sistema MIMO de 2-entradas e 2-saídas:

$$\begin{bmatrix} Y_1(z) \\ Y_2(z) \end{bmatrix} = \begin{bmatrix} G_{11}(z) & G_{12}(z) \\ G_{21}(z) & G_{22}(z) \end{bmatrix} \begin{bmatrix} U_1(z) \\ U_2(z) \end{bmatrix} \quad (1)$$

$$\begin{aligned} Y_1(z) &= G_{11}(z)U_1(z) + G_{12}(z)U_2(z) \\ Y_2(z) &= G_{21}(z)U_1(z) + G_{22}(z)U_2(z) \end{aligned} \quad (2)$$

$$\begin{bmatrix} Y_1(z) \\ Y_2(z) \end{bmatrix} = \begin{bmatrix} \frac{B_{11}(z)z^{-1}}{A_{11}(z)} & \frac{B_{12}(z)z^{-1}}{A_{12}(z)} \\ \frac{B_{21}(z)z^{-1}}{A_{21}(z)} & \frac{B_{22}(z)z^{-1}}{A_{22}(z)} \end{bmatrix} \begin{bmatrix} U_1(z) \\ U_2(z) \end{bmatrix} \quad (3)$$

$$\begin{aligned} Y_1(z) &= \frac{B_{11}(z)z^{-1}}{A_{11}(z)}U_1(z) + \frac{B_{12}(z)z^{-1}}{A_{12}(z)}U_2(z) \\ Y_1(z) &= \frac{A_{12}(z)B_{11}(z)z^{-1}}{A_{11}(z)A_{12}(z)}U_1(z) + \frac{A_{11}(z)B_{12}(z)z^{-1}}{A_{11}(z)A_{12}(z)}U_2(z) \end{aligned} \quad (4)$$

$$\begin{aligned} Y_2(z) &= \frac{B_{21}(z)z^{-1}}{A_{21}(z)}U_1(z) + \frac{B_{22}(z)z^{-1}}{A_{22}(z)}U_2(z) \\ Y_2(z) &= \frac{A_{22}(z)B_{21}(z)z^{-1}}{A_{21}(z)A_{22}(z)}U_1(z) + \frac{A_{21}(z)B_{22}(z)z^{-1}}{A_{21}(z)A_{22}(z)}U_2(z) \end{aligned} \quad (5)$$

$$\begin{bmatrix} Y_1(z) \\ Y_2(z) \end{bmatrix} = \begin{bmatrix} \frac{\mathbf{B}_{11}(z)z^{-1}}{\mathbf{A}_1(z)} & \frac{\mathbf{B}_{12}(z)z^{-1}}{\mathbf{A}_1(z)} \\ \frac{\mathbf{B}_{21}(z)z^{-1}}{\mathbf{A}_2(z)} & \frac{\mathbf{B}_{22}(z)z^{-1}}{\mathbf{A}_2(z)} \end{bmatrix} \begin{bmatrix} U_1(z) \\ U_2(z) \end{bmatrix} \quad (6)$$

O sistema MIMO, após a reorganização dos seus polinômios, possui zeros específicos referentes aos seus elementos da matriz de transferência, mas devido a estrutura acoplada entre entradas e saídas, no caso MIMO surge um novo conceito de zeros: de transmissão (ou zeros invariantes).

### \* Zeros de transmissão (zeros do sistema MIMO)

Considere o seguinte sistema contínuo (o desenvolvimento algébrico se estende ao caso discreto) no espaço de estado:

$$\begin{aligned} \dot{x} &= Ax + Bu \\ y &= Cx + Du \end{aligned} \quad (7)$$

$$\begin{aligned} sX(s) - x(0) &= AX(s) + BU(s) \\ Y(s) &= CX(s) + DU(s) \end{aligned} \quad (8)$$

$$P(s) \begin{bmatrix} -X(s) \\ U(s) \end{bmatrix} = \begin{bmatrix} -x(0) \\ Y(s) \end{bmatrix} \quad (9)$$

$$P(s) := \begin{bmatrix} sI - A & B \\ -C & D \end{bmatrix} \quad (10)$$

em que  $P(s) \in \mathbb{R}(s)$  é a matriz de Rosenbrock do sistema no espaço de estado. Esta matriz é utilizada para introduzir o conceito de zeros no espaço de estado (Hespanha, 2009).

Os zeros de transmissão ou zeros invariantes de um sistema MIMO serão aqueles cujas frequências  $s$  causam o decaimento do posto da matriz  $P(s)_{n \times m}$  a um valor inferior a  $\min(n, m)$ .

O exemplo mostrado a seguir, extraído da página 179 de Hespanha (2009), foi utilizado pelo autor para introduzir este conceito:

$$\begin{aligned} \dot{x} &= \begin{bmatrix} 0 & -1 & 1 \\ 1 & -2 & 1 \\ 0 & 1 & -1 \end{bmatrix} x + \begin{bmatrix} 1 & 0 \\ 1 & 1 \\ 1 & 2 \end{bmatrix} u \\ y &= \begin{bmatrix} 0 & 1 & 0 \end{bmatrix} x + \begin{bmatrix} 0 & 0 \end{bmatrix} u \end{aligned} \quad (11)$$

$$P(s) = \begin{bmatrix} s & 1 & -1 & 1 & 0 \\ -1 & s+2 & -1 & 1 & 1 \\ 0 & -1 & s+1 & 1 & 2 \\ 0 & -1 & 0 & 0 & 0 \end{bmatrix} \quad (12)$$

É possível testar o posto da matriz para diversas frequências, mas para quando  $s = -2$ , o posto da matriz decai de 4 para 3. Portanto,  $s = -2$  é o zero de transmissão do sistema.

```
s = 0;
Ps = [s  1  -1  1  0;
      -1 s+2 -1  1  1;
      0  -1 s+1  1  2;
      0  -1  0  0  0];

rank(Ps) = 4

s = -1;
Ps = [s  1  -1  1  0;
      -1 s+2 -1  1  1;
      0  -1 s+1  1  2;
      0  -1  0  0  0];

rank(Ps) = 4

s = -2;
Ps = [s  1  -1  1  0;
      -1 s+2 -1  1  1;
```

```
0 -1 s+1 1 2;
0 -1 0 0 0];
```

```
rank(Ps) = 3
```

Também, se verificarmos diretamente pelo uso da função `tzero` do Matlab, chegaremos ao mesmo resultado:

```
A = [0 -1 1; 1 -2 1; 0 1 -1];
B = [1 0; 1 1; 1 2];
C = [0 1 0]; D = [0 0];
sys = ss(A,B,C,D);
tzero(sys) = -2
```

### \* Analogia com sistemas MIMO descritos por matrizes de funções de transferência:

Consideremos o seguinte exemplo:

$$\frac{Y(z)}{U(z)} = G(z) = \begin{bmatrix} 1 & \frac{1}{z-0.3679} \\ 0 & 1 \end{bmatrix} \quad (13)$$

Neste exemplo é importante frisar que nas funções de transferência internas de  $G(z)$  não há raízes associadas aos polinômios dos numeradores, há apenas o polo em 0.3679. No entanto, quando  $z = e^{-\omega T_s}$  se aproxima de 0.3679 e o respectivo elemento da matriz  $G(z)$  tende ao infinito, o posto da matriz  $G(z)$  decai de 2 para 1. Portanto, 0.3679 é o zero de transmissão deste sistema MIMO.

```
rank([1 (1/(0.3678999-0.3679)); 0 1])
```

```
ans = 2
```

```
rank([1 (1/(0.36789999-0.3679)); 0 1])
```

```
ans = 1
```

### \* Análise de sistemas MIMO no domínio da frequência via valores singulares

- Decomposição dos valores singulares de uma matriz:

Seja  $H$  uma matriz real  $\bar{n} \times \bar{m}$  e  $M := H^T H$ , simétrica e semidefinida, tal que  $n = \min(\bar{n}, \bar{m})$  e todos os autovalores de  $M$  são reais e não negativos. Seja  $r$  o número de autovalores positivos, então os autovalores de  $M := H^T H$  podem ser ordenados da seguinte maneira:

$$\lambda_1^2 \geq \lambda_2^2 \geq \dots \geq \lambda_r^2 > 0 = \lambda_{r+1}^2 = \dots = \lambda_n^2 \quad (14)$$

Este conjunto de autovalores, normalmente organizado nesta ordem decrescente, quando reescrito na forma

$$\lambda_1 \geq \lambda_2 \geq \dots \geq \lambda_r > 0 = \lambda_{r+1} = \dots = \lambda_n \quad (15)$$

estabelece o conjunto dos valores singulares da matriz  $H$ .

Considere o exemplo mostrado a seguir, calculado a partir da relação entre (14) e (15), também diretamente pela função SVD (singular value decomposition) do Matlab:

```
H = [-4 -1 2;  
      2 0.5 -1];
```

```
M = H'*H;
```

```
eig(M)  
ans =
```

```
-0.0000  
0.0000  
26.2500
```

```
sqrt(eig(M))  
ans =
```

```
0.0000 + 0.0000i  
0.0000 + 0.0000i  
5.1235 + 0.0000i
```

```
svd(H)  
ans =
```

```
5.1235  
0.0000
```

### **\* Análise em frequência de sistemas MIMO pelos ganhos principais (SVD da matriz de ganhos)**

*“it is now well known that multivariable sensitivity and robustness cannot be reliably evaluated one loop at a time.”*  
(John Doyle, 1982)

- Exemplo com sistema MIMO de velocidades horizontais de um quadricóptero

```
%% Quadrotor's horizontal speeds state space model  
% x1 = phi = roll_angle [rad]  
% x2 = theta = pitch_angle [rad]  
% x3 = u_spd = forward_speed [m/s]  
% x4 = v_spd = lateral_speed [m/s]  
  
% u1 = lateral thruster [-1,1]
```

```

% u2 = forward thruster [-1,1]
% y1 = v_spd = lateral_speed [m/s]
% y2 = u_spd = forward_speed [m/s]
% (Axes in NED coordinate system)
clear all; close all; clc;

A = [ 0.8177 -0.00617 -0.0006665 -0.007602;
      0.005481 0.8208 0.009405 0.0007079;
      0.02713 -0.7337 0.9996 -0.0005473;
      0.7289 -0.01162 0.001246 0.9989 ];

B = [ 0.09348 0.002153;
      -0.001933 0.09677 ;
      -0.007098 0.003633;
      -0.007148 0.002068];

C = [ 0 0 0 1;
      0 0 1 0];

D = zeros(2,2);

Ts = 0.065; % seconds

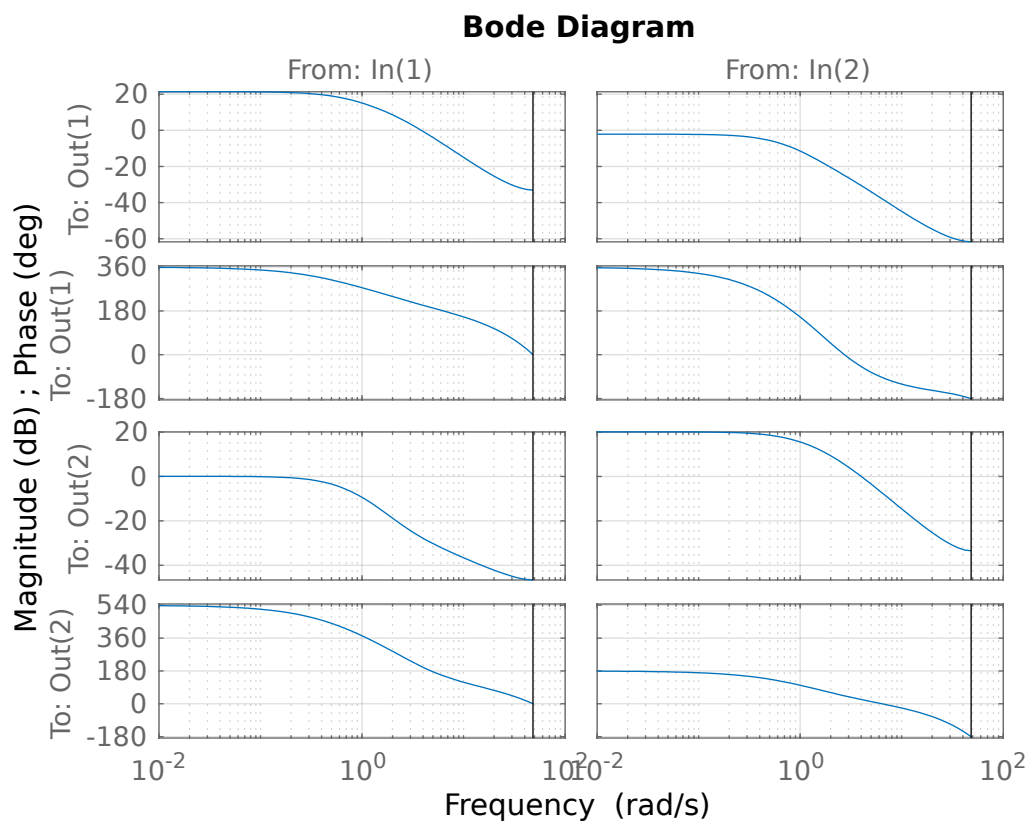
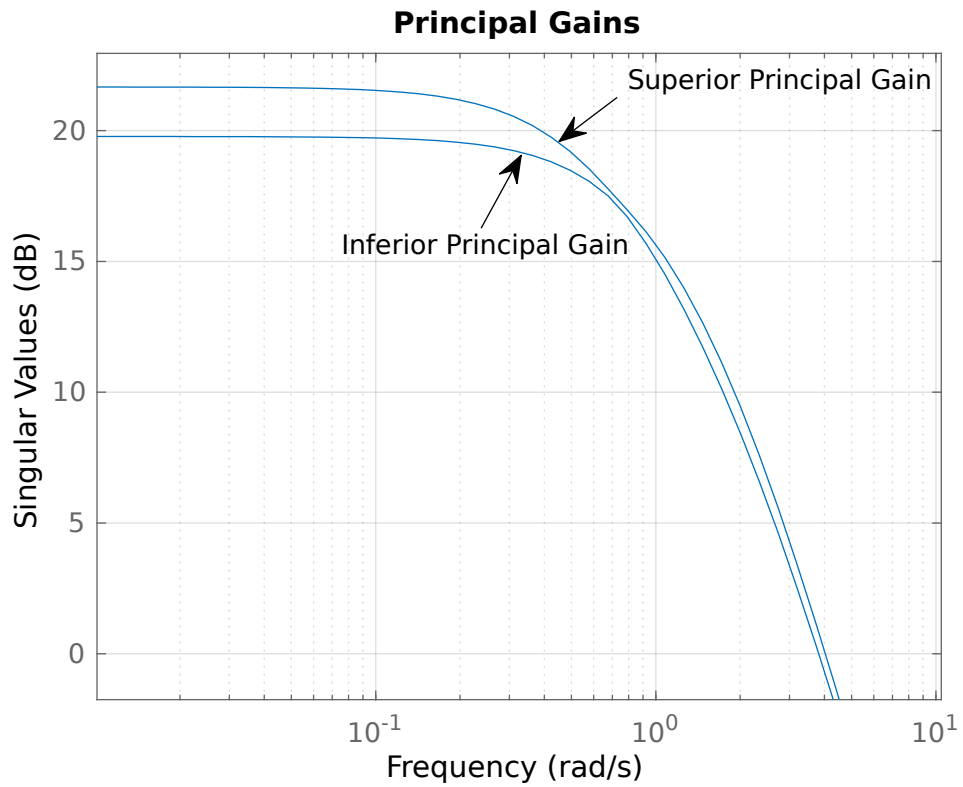
sys = ss(A,B,C,D,Ts)
disp('Transmission zeros from SS model:'); disp( tzero(sys) );

%% Transfer function model from the state-space realization

Gz = tf(sys)
disp('Zeros from G(z) model using TZERO:'); disp( tzero(Gz) );
disp('Zeros from G(z) model using ZERO:'); disp( zero(Gz) );

%% Frequency response analysis based on the Singular Value Plots
% vs Bode plots
figure(1);
sigma(sys), grid; title('Principal Gains'); % SV plots
figure(2);
bode(sys), grid; % Bode plots

```



### \* Equação de Lyapunov e sua intrínseca relação de estabilidade com os métodos de controle LQ

Considere o seguinte sistema descrito pela equação de estado homogênea

$$\dot{x} = Ax \quad (16)$$

Este sistema será estável, no senso de Lyapunov, se para cada matriz simétrica definida positiva  $Q$  (i.e.,  $x^T Q x > 0$ ,  $Q_{n \times n}$ ), existir uma solução  $P$  única para a seguinte equação de Lyapunov:

$$A^T P + P A = -Q \quad (17)$$

A matriz  $P$  resultante será simétrica e definida positiva. Também, deve ser verdadeira a seguinte inequação matricial:

$$A^T P + P A < 0 \quad (18)$$

Para comprovar tais condições para a estabilidade, pode-se utilizar a seguinte solução arbitrária da equação homogênea do sistema (16):

$$v(t) := x^T(t) P x(t) \geq 0 \quad (19)$$

A análise dinâmica pode ser realizada derivando-se a Eq. (19), tal que

$$\dot{v} = \dot{x}^T P x + x^T P \dot{x} = x^T (A^T P + P A) x = -x^T Q x \leq 0 \quad (20)$$

e como o resultado é menor ou igual a zero, pode-se afirmar que  $v(t)$  decresce com o passar do tempo, destacando que a potência ou energia futura de  $v(t)$  será menor do que a sua condição inicial, sendo, assim, estável no senso de Lyapunov.

Pode-se concluir que

$$v(t) = x^T(t) P x(t) \leq v(0) = x^T(0) P x(0) \quad (21)$$

e que qualquer solução futura de  $v(t)$  será menor ou igual a sua condição inicial e se tratando de um sistema linear invariante no tempo cujas condições iniciais sejam nulas, o sistema será assintoticamente estável.

Como a equação de Lyapunov recai na estrutura da Equação Algébrica de Ricatti de Controlador e Observador para controle e observação de estado ótimas, consequentemente se tem a prova das condições de estabilidade do controle LQ e do método de Kalman com base no Teorema de Estabilidade de Lyapunov.